известия академии наук армянской ссь

Mhaipha

43. No. 5, 1990

Механика

УДК 539.3.

ИЗГИБ И КОЛЕБАНИЕ ПАРАЛЛЕЛЬНЫХ СВЕРХПРОВОДЯЩИХ ПЛАСТИИ В ПРОДОЛЬНОМ МАГНИТНОМ ПОЛЕ

БАГЛАСАРЯН Г. Е., ГИЛЛИПОСЯЦ Г. Т.

Рассматриваются задачи изгиба и колебания двух вараллельных сверхпроводящих пластин пол лействием продольного магнитного поля. Показано, что магнитное поле порядка одной десятой доли теслы может, во-первых, в иссколько раз увеличить частоту свободных колебаний и, во-вторых, привести к возникновению изгибных напряжений, превышающих пределы пропорциональности материалов пластии. Проанализировано влияние папряженности магнитного поля и взаниное расположение пластии на указаные величины

1. Рассмотрим магнитоупругую систему, состоящую из двух нараллельных бесконечных диафрагм, между которыми лействует начальное постоянное пролольное магнитное поле H_0 . Магнитные свойства среды, находящейся между диафрагмами, отождествляются со свойствами вакуума (вакуумный слой). Прямоугольная декартовая система координат $x_1x_2x_3$ выбрана так, что координатная плоскость x_1x_2 совладает со срединной плогкостью вакуумного слоя. Начальное магнитное поле $H_0(H_0, 0, 0)$ параллельно координатной линии охимагнитное поверхности диафрагм ($x_3 = \pm b$) покрыты тонкими слояни сверхпроводящего сплава, голщины которых намного больше глубины проникновения магнитного поля в сверхпроводник (обычно по-

(остальные части являются абсолютно жесткими и неподвижными) Граничные условия на горцах $x_1 = -a$ таковы, что пластинки колеблятся по форме цилиндрической поверхности с образующими параллельными координатной линии ox_2 . В дальнейшем, характеристики, относящиеся к верхней иластивке ($b = -2\delta_1$), будем обозначать индексом «1», а к нижней ($b = -2\delta_1$) индексом «2».

рядки 10^{-5} см). Части диафрагм $|x_1| \le a$, $|x_2| < \infty$ являются упругими пластинками, изготовленными из различных изотропных материалов

Известно, что при помещении сверхпроводящего гела в магнитное поле на тонком приповерхностном слое появляются экранируюшие токи, препятствующие прониканию магнитного поля внутрь тела. Вследствие этого на внутренних поверхностях пластинок компоненты тензора напряжений Максвелла претерпевают разрыв. Этим разрыном

обусловлено появление поверхностных сил q магнитного происхож-

дения (действующие на поверхностях $x_0 = \pm b$), определяемые формулой [1]

$$q = n \cdot T \tag{1.1}$$

где $m{n}$ единичный вектор внешней нормали к деформируемым поверхностим пластинок, $m{T}$ —тензор напряжений Максвелла

$$T_{tk} = \frac{1}{4\pi} \left(H_t H_h - \frac{\lambda_{tk}}{2} \vec{H} \cdot \vec{H} \right) \tag{1.2}$$

В (1.2) H—вектор напряженности магнитного поля в вакуумном слое $|x_3| < b$, который складывается из вектора напряженности заданного магнитного поля H_0 и вектора напряженности индуцированного магнитного поля h. обусловленного деформациями пластинок ($H = H_0 + h$).

Пусть для рассматриваемых пластии справедлива гипотеза недеформируемых нормалей. Тогта уравнения колебаний пластии можно представить в следующем виде [2]:

$$D_k \frac{\partial^k w_k}{\partial x_1^4} + 2g_k b_k \frac{\partial^k w_k}{\partial t^4} - b_k \frac{\partial}{\partial x_1} \left(\phi_{13}^{(k)+} + z_{13}^{(k)+}\right) = z_{33}^{(k)+} - \phi_{33}^{(k)+} - \phi_{33}^{(k)+}$$

$$(k = 1, 2)$$

Злесь w_k —прогиб, $D_k = 2E_k \delta_k^3/3(1-1)$ —цилиндрическая жесткость E_k —молуль упругости, v_k —коэффициент Пуассона, $2\epsilon_k$ —толщина, ϵ_k — плотность k-той пластинки, $u_k = 0$ —упругие напряжения. Знаками $x_k = 0$ и $x_k = 0$ отмечены значения напряжений на верхних $x_k = 0$ и нижних $x_k = 0$, $x_k = 0$ понерхностях пластин соответственно.

Входящие в уравнения (1.3) неизвестные величины $a_1 = a_2 = a_3 = a_4 = a_4$

$$a_{i,j}n_j - T_{i,j}n_{i,j} \tag{1.4}$$

Из (1.4), с учетом (1.2), после линеаризации имеем

$$\mathfrak{s}_{13}^{(1)-} = 0, \quad \mathfrak{s}_{33}^{(1)+} = 0, \quad \mathfrak{s}_{33}^{(2)-} = 0, \quad \mathfrak{s}_{33}^{(2)-} = 0$$

$$\mathfrak{s}_{13}^{(1)-} = \frac{H_{01}}{4\pi} h_1, \quad \mathfrak{s}_{13}^{(1)-} = -\frac{H_{01}}{8\pi} - \frac{H_{01}}{4\pi} h_1, \quad \mathfrak{s}_{13}^{(2)+} = \frac{H_{01}}{4\pi} h_3^{-}$$

$$\mathfrak{s}_{13}^{(1)-} = -\frac{H_{01}}{8\pi} - \frac{H_{01}}{4\pi} h_1^{-}$$

где

$$h_k^{\pm} = h_k(x_1, \pm b, t), \quad (k=1,3)$$

 Рассматривая систему уравнении (1.3), замечаем, что она не замкнута. В нее, кроме прогибов ₩_k пластинок, входят неизвестные граничные значения h[±] индуцированного в вакуумном слое магнит-

ного поля А. Их определяем [3, 4], решая уравнения Максвелла

в области $|x_3| < b$, при следующих поверхностных условиях непро-

$$(H_0 + h) \cdot n = 0$$
 при $x_3 = \pm b$ (2.2)

Ввеля потенциальную функцию с посредством

$$h = \operatorname{grad} \varphi$$
 (2.3)

н учитывая, что части $|x_1| > a$ поверхностей $x_2 = \pm b$ не деформируются, задача определения индуцированного магнитного поля h, согласно (2.1) и (2.2), после линеаризации сводится к решению следующей краевой задачи для уравнёния Лапласа в слое $|x_4| < b$:

$$\frac{\partial^{2} \varphi}{\partial x_{1}^{2}} + \frac{\partial^{3} \varphi}{\partial x_{3}^{2}} = 0$$

$$\frac{\partial \varphi}{\partial x_{1}} = \begin{cases}
0, & |x_{1}| > a, x_{2} = b \\
H_{01} \frac{\partial w_{1}}{\partial x_{1}}, & |x_{2}| < a, x_{3} = b \\
H_{01} \frac{\partial w_{2}}{\partial x_{2}}, & |x_{3}| < a, x_{3} = -b
\end{cases}$$
(2.4)

Задача (2.4) решена при помощи витегрального преобразования Φ урье по переменной $x_{\rm p}$. Используя это решение из (2.3), определено

индуцированное в слое магнитное поле h и путем предельного перехода $(x_3 \to \pm b)$ получены следующие представления интересующих нас величин h^{\pm}_{\pm} :

$$h_{3}^{+} = H_{01} \frac{\partial w_{1}}{\partial x_{1}}, \quad h_{3}^{-} = H_{01} \frac{\partial w_{3}}{\partial x_{1}}, \quad h_{1}^{+} = \frac{H_{01}}{4b} \int_{-a}^{a} \left(\frac{1}{K} \frac{\partial w_{1}}{\partial t} - K \frac{\partial w_{3}}{\partial t} \right)$$

$$h_{1}^{-} = \frac{H_{01}}{4b} \int_{-a}^{a} \left(K \frac{\partial w_{1}}{\partial t} - \frac{1}{K} \frac{\partial w_{3}}{\partial t} \right)$$
(2.5)

где для ядра $K(x, \xi)$ имеем

$$K(x,\xi) := \operatorname{th} \frac{\pi(\xi - x_1)}{4b}$$

Представляя (1.5) в (1.3) и учитывая (2.5), получим следующую систему связанных сингулярных интегродифференциальных уравнений колебания пластинок:

$$D_{k} \frac{\partial^{4} w_{k}}{\partial x_{1}^{4}} - 2\rho_{k} \delta_{k} \frac{\partial^{2} w_{k}}{\partial t^{2}} - \frac{H_{0}^{2} \delta_{k}}{4\pi} \frac{\partial^{2} w_{k}}{\partial x_{1}^{2}} + \frac{H_{01}^{2}}{16\pi b} \int \left(K \frac{\partial w_{3-k}}{\partial \xi} - \frac{1}{K} \frac{\partial w_{k}}{\partial \xi} \right) \partial \xi + = (-1)^{k-1} \frac{H_{01}^{2}}{8\pi} \quad (k=1,2)$$
 (2.6)

К системе уравнений (2.6) в каждом конкретном случае необходимо присоединить обычные однородные условия закрепления краев $x_1 = \pm a$ п астинок.

Так как уравнения (2.6) и соответствующие граничные условия являются линейцыми, го решения поставленных задач будем искать в виде суммы

$$w_k(x_1, t) = w_k^{(1)}(x_1) + w_k^{(1)}(x_1, t)$$

где функции $w_k^{(1)}$ есть решения уравнения

$$D_{4} \frac{d^{4}\pi_{0}^{(1)}}{dx_{1}^{3}} + \frac{H_{01}^{2}}{16\pi b} \int_{-a}^{a} \left(K \frac{dw_{3-k}^{(1)}}{d\xi} - \frac{1}{K} \frac{dw_{0}^{(1)}}{d\xi} \right) d\xi - \frac{H_{01}^{2}\delta_{k}}{4\pi} \frac{d^{3}w_{0}^{(1)}}{dx_{1}^{3}} = (-1)^{4} \frac{H_{01}^{2}}{8\pi}$$

$$(2.7)$$

удовлетворяющие тем же граничным условиям, что ш. Функции то валяются решениями уравнений

$$D_{1} \frac{\partial^{3} w_{k}^{(2)}}{\partial x^{4}} + 2\rho_{k} \gamma_{k} \frac{\partial^{3} w^{(2)}}{\partial t^{3}} - \frac{H_{01}^{2} \hat{\gamma}_{k}}{4\pi} \frac{\partial^{3} w_{k}^{(2)}}{\partial x_{k}^{2}} + \frac{H_{01}}{16\pi b} \int \left(K \frac{\partial w_{3-k}^{(2)}}{\partial \hat{\epsilon}} - \frac{1}{K} \frac{\partial w_{2}^{(2)}}{\partial \epsilon} \right) d\hat{\epsilon} = 0$$

при тех же граничных условиях.

Функция $w_k^{(1)}(x_1)$ представляет решения затач изгиба пластинок пол действием магнитного давления \hat{v} ещения $\hat{w}^{(1)}$ характеризуют собственные магнитоупругие колебания рассматриваемой системы в пролольном магнитном поле.

3. Рассмотрим задачу изгиба шаринрио оп.ртых по краям $x_1=\pm a$ ластин, основанную на уравнениях (2.7). Для простоты ограничимся глучаем, когда физико-механические и геометрические параметры пластинок одинаковые (\mathcal{E}_1 — $x_1 - x_2 = x_1$ $\mathcal{S}_1 = \mathcal{S}_2 = h$). Тогда, как видно из (2.7), $x_2^{(1)} = -x_1^{(1)}$ и для определения $x_1^{(1)} = x_1$ получим уравнение

$$D\frac{\partial^{4}w}{\partial x_{1}^{4}} - \frac{H_{01}^{2}}{8\pi b} \int_{-d\xi}^{d} dt \cot \frac{\pi(\xi - x_{1})}{2b} dt - \frac{hH_{01}^{2}}{4\pi} \frac{d^{4}w}{\partial x_{1}^{2}} = \frac{H_{01}^{2}}{8\pi}, D = \frac{2Eh^{3}}{3(1 - v^{3})}$$
(3.1)

Решение уравнения (3.1), удовлетворяющего условиям шариирного опирания, представим в виде

$$w = \sum_{n=1}^{\infty} w_n \sin \lambda_n (x_1 + a), \quad i_n = n\pi/2a$$
 (3.2)

где 🖦 -- неизвестные постоянные, подлежащие определению.

Подставляя (3.2) в (3.1) и используя обычный процесс ортогонализации, приходим к следующей бесконечной системе линейных неоднородных алгебраических уравнений относительно Wall

$$x_m + \sum_{m=0}^{\infty} a_{mn} x_n = c_m \quad (m=1, 2, ...)$$
 (3.3)

где

$$a_{mn} = \frac{aH_{01}^{-1}}{2\pi b i_{n}R_{m}} A_{mn}, \quad c_{m} = \frac{1 - (-1)^{m} H_{01}^{2}}{8\pi a i_{m}^{-1}R_{m}}, \quad R_{m} = Di_{m}^{4} + \frac{H_{01}^{2}h}{4\pi} m$$

$$A_{mn} = 4a^{2} \int \left| \coth \frac{\pi a(u-1)}{h} \sin m - \cos m\pi u du d\tau, \quad x_{m} = 0 \right|$$
(3.4)

Используя (3.4) и имея ввиду, что $|A_{mn}| \leq M(\lambda_n)^{-3}$, где M—некоторая постоянная, легко показать, что система (3.3) при любом значении H_{n_1} квазивполне регулярна.

Из (3.2) и (3.3) определяем прогибы и на их основе изгибные напряжения в пластинках. В частности, для максимального (по x_1) значения напряжения z_{11} при $x_3 = b + 2h$ в первом приближении получим

$$\max_{|a| \le a_{11}} = \frac{3H_{01}^2}{\pi^4} \left(\frac{a}{h}\right)^4 \left[1 + \frac{a(1-a^2)}{\pi^4 E} \left(\frac{a}{h}\right)^3 \frac{a}{h} \left(A_{11} + \frac{\pi}{4} \frac{bh}{a^2}\right)\right]^{-1}$$
(3.5)

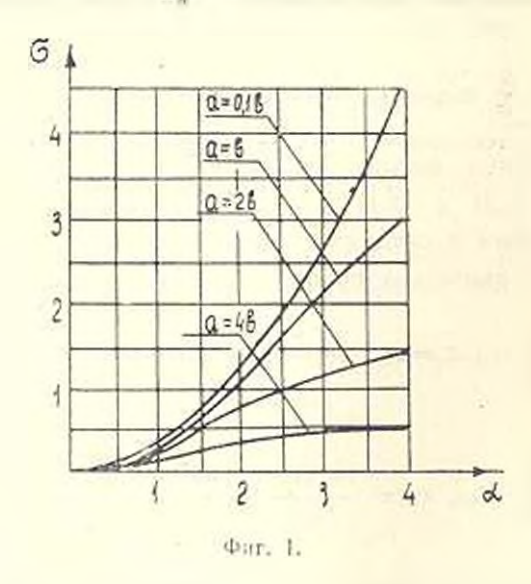
На основе (3.5) произведены вычисления (результаты которых представлены на фиг. 1) тах σ_{11} в зависимости от напряженности магнитного поля $H_{01}=a\cdot 10^9$ в при различных значениях a/b. Для расчета принято $E=0.75\cdot 10^{\circ}$ Пв. v=0.36 (дюрал), $a=10^9\cdot h$. Результаты подсчета приведены на фиг. 1, где $\sigma=10^9\cdot$ тах σ_{11} .

Из фиг. 1 видно, что: а) с увеличением расстояния между пластивками изсибные напряжения увеличиваются; б) при напряженности магнитного поля порядка 10° э появляются пластические деформации (maxэц >эт, эт —предел текучести).

 Рассмотрим задачу собственных магнитоупругих колебаний на основе уравнений (2.8), преднолагая когя пластинок щариирно опертыми. Тогда решения уравнений (2.8) можно представить в виде

$$w_k^{(2)}(x_1, t) = \left(\sum_{i} u_i^{(k)} \sin \nu_n(x_1 + a)\right) \cos \omega t$$
 (4.1)

где и - частота колебаний, и пензвестные постоянные.



Подставляя (4.1) в (2.8) и востубая аналогичным образом, как в пункте 3, приходим к следующим бесконечным системам линейных однородных уравнений относительно и и и (4.1);

$$(1 - \theta_{-n}^2) x_m^{(1)} + \sum_{n=1} \left[a_{mn}^{(1)} x_n^{(2)} - b_{mn}^{(1)} x_n^{(1)} \right] = 0$$

$$(1 - \theta_{2m}^2) x_m^{(2)} + \sum_{n=1} \left[a_{-n}^{(2)} x_n^{(1)} - b_{-n}^{(2)} x_n^{(2)} \right] = 0$$

$$(4.2)$$

где

$$a_{km}^{(A)} = \frac{\omega^{*}}{\omega_{km}^{*}} \qquad a_{m}^{(A)} = \frac{\Omega^{4}_{km} + \frac{H_{01}}{\sigma_{0}} \lambda}{2a_{m}^{(A)}} = \frac{D_{m}^{*}}{2a_{k}\delta_{k}} \qquad (4.3)$$

$$a_{mn}^{(A)} = \frac{aH_{01}^{(A)}}{8\pi b \rho_{k}\delta_{k}\lambda_{n}\omega_{km}^{(A)}} a_{m}, \quad b^{(k)} = \frac{aH_{01}^{(A)}}{8\pi b \rho_{k}\delta_{k}\lambda_{n}\omega_{km}^{(A)}} b_{mn}$$

$$a_{mn} = \int_{0}^{1} \int_{0}^{1} \coth \frac{-(-u)a}{2b} \cos n - \sin m \cdot u d \cdot du$$

$$x^{(1)} = 12 u^{(k)}, (k=1,2; m,n=1,2,3...).$$

В (4.3) Ω_{km} — частоты собственных поперечных колебаний k-той пластинки в отсутствие магнитного поля,

Аналогичным образом, как в пункте 3, используя (4-3), показывается, что определитель системы (4.2) относится к классу сходящихся (нормальных) определителей.

Используя условие существования истривиального решения системы (4.2), получим характеристическое уравнение для определения частоты колебаний рассматриваемой магнивоупругой системы. Это уравнение и периом приближении имеет инд

$$(1-\theta_{11}^2+b_{11}^{(1)})(1-\theta_{21}^2+b_{11}^{(2)})-a_{11}^{(1)}a_{11}^{(2)}=0$$

110

которое в случае одинаковых пластия $(E_1 - E_2 - E_1, \delta_2 + \delta_1 - h, \epsilon_1 + \epsilon_2 + \epsilon_2)$ имеет следующие решения, определяющие частоты магнитоупругих колебаний:

 $\omega_{1}^{2} = \Omega^{2}(1+\alpha), \quad \omega_{2}^{2} = \Omega^{2}(1+\beta) \tag{4.4}$ $\Omega^{3} = \Omega_{1}^{2} + \frac{F/2}{8\pi\rho}^{2}, \quad D = \frac{2Fh^{3}}{2(1-v^{2})}, \quad \Omega_{1}^{2} = \frac{D/4}{2\rho h}$ $a = \frac{H_{01}^{2}av_{1}}{8\pi\rho\rho h\Omega^{2}} \int_{0}^{1} \int_{0}^{1} \coth \frac{\pi a(u-v)}{b} \cos \pi v \sin \pi u du dv$ $\beta = \frac{H_{01}^{2}av_{1}}{8\pi\rho\rho h\Omega^{2}} \int_{0}^{1} \int_{0}^{1} \left[\sinh \frac{\pi a(u-v)}{b} \right]^{-2} \cos \pi v \sin \pi u du dv$ $\frac{\omega_{1}}{\Omega_{1}} \int_{0}^{1} \int_{0}^{1} \sin \frac{\pi a(u-v)}{b} \cos \pi v \sin \pi u du dv$

Рассматривая (4.4), замечаем, что система может колебаться с двумя различными частотами, причем ω_1 соответствует случаю $\omega_2^{(1)} = -\omega_1^{(1)}$ (симметричные колебания), а ω_2 случаю $\omega_2^{(2)} = \omega_1^{(2)}$ (антисимметричные колебания).

Фиг. 2.

На фиг. 2 показана зависимость ω_1 Ω_1 (где Ω_1 — первая частота свободных калебаний пластии при отсутствии магнитного поля) от относительного расстояния b/a между пластинками при различных значениях напряженности магнитного поля $H_{01} = \alpha \cdot 10^3$ э. Для расчета принято, что пластинки изготовлены из дюралюминиевого материала. $h/a = 10^{-3}$ и z = 1, 3, 5. На этом фигуры видно, что присутствие второй пластин и может существенно увеличить частоту колебаний, причем чем ближе расположены пластинки, тем сильнее влияние магнитного поля.

BENDING AND VIBRATION OF THE PARRALLEL SUPERCONDUC-TIVE PLATES IN A LONGITUDINAL MAGNETIC FIELD

G. E. BAGHDASARIAN, G. T. PILIPOSIAN

ԳԵՐՀԱՂՈՐԳԻՉ ԶՈՒԳԱՀԵՌ ՍԱԼԵՐԻ ԾՌՈՒՄԸ ԵՎ ԾՎՈՏԱՆՈՒՄԸ ԵՐԿԱՆԱԿԱՆ ԱԱԿԵՒՄԱՆԱՆ ԴԱՇՏՈՒՄ

Գ. հ. ԲԱՂԳԱՍԱՐՅԱՆ, Գ. Թ. ՓԻԼԻՎՈՍՅԱՆ

Ամփոփում

Դիտարկված հն երկայնական մագնիսական դաչաի ազդեցության տակ գտնվող հրկա դուղաներ գնթնավորդիչ տալերի ծոման և տատանումների կանդիրները։ Ցույց է արված, որ տեսլայի մեկ տասներորդ մասի կարգի մագնիսական դաչար կարող է, առաջին, մի քանի անգամ մեծացնել ազատ տատանումների նանախությունը, և երկրորդ՝ առաջացնել սալերի նյութերի համեսանանության սահերի նաւթերի համանականության սահանանական գերթեր ազգերունիսական գերթեր արդեսի անգան մեծությունների համանական գերթեր արդեսի համանական ձև անձանական գերթեր արդեսի արդես գերթեր արդես արդեսին մասինունի և արդեսի արդեսի արդես ա

ЛИТЕРАТУРА

- 1. Ландау Л. Д. н Лифшиц Е. М. Электродинамика сплошных сред.—М.: Гостехнадат, 1957, 532 с.
- 2. Амбарцумян С. А. Багдасарян Г. Е., Белубекен М. В. Матнитоупругость тонких оболочек и илас. нв. М.: Наука, 1977. 272 с.
- Левитии М. Р. Колебания сверхпроводящей оболочки в магнитном поле. «Теоретические вопросы магнитоупругости», IV Симпозиум: Материал докладов. -Ереван, изд-во ЕГУ, 1989.
- 4. Багдасарян Г. Е., Мкртиян П. 1. Устойчивость сверхпроводящей цилиндрической оболочки и магнитном поле.—Изп. АН Арм. ССР. Механика, 1981, т. 34. № 6, г. 36—47.

Ереванский государственный университет

> Поступила в редакцию 19.1X.1989